#### Journée AST Milieux Urbains le 24/10/2025

# Cartographie de l'albédo à haute résolution (10 m) à partir des données Sentinel-2 pour une meilleure estimation des ICUs

Jean-Louis Roujean (CESBIO), Bertrand Saulquin (CESBIO), Georgios Kyriakodis (CSTB)

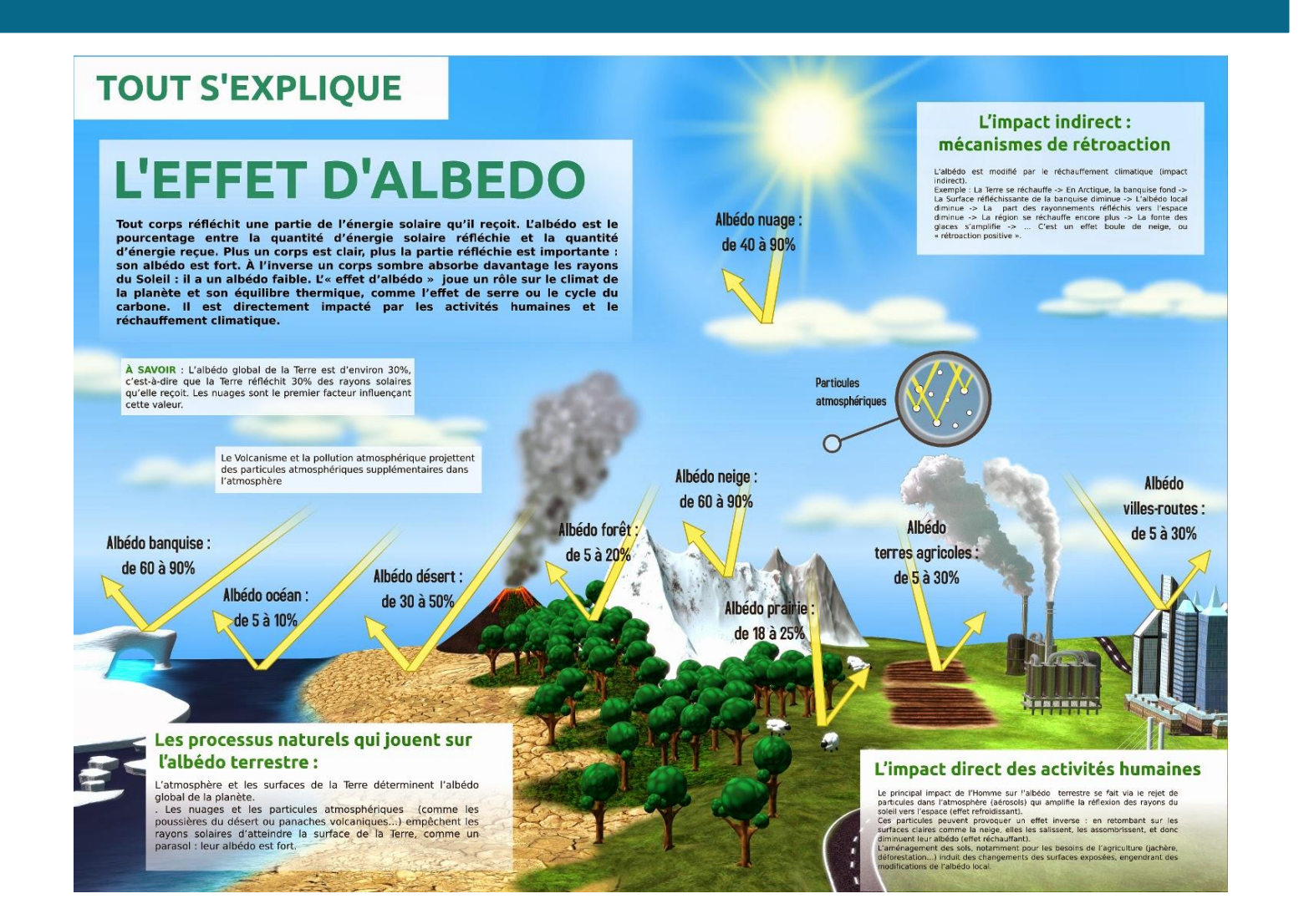


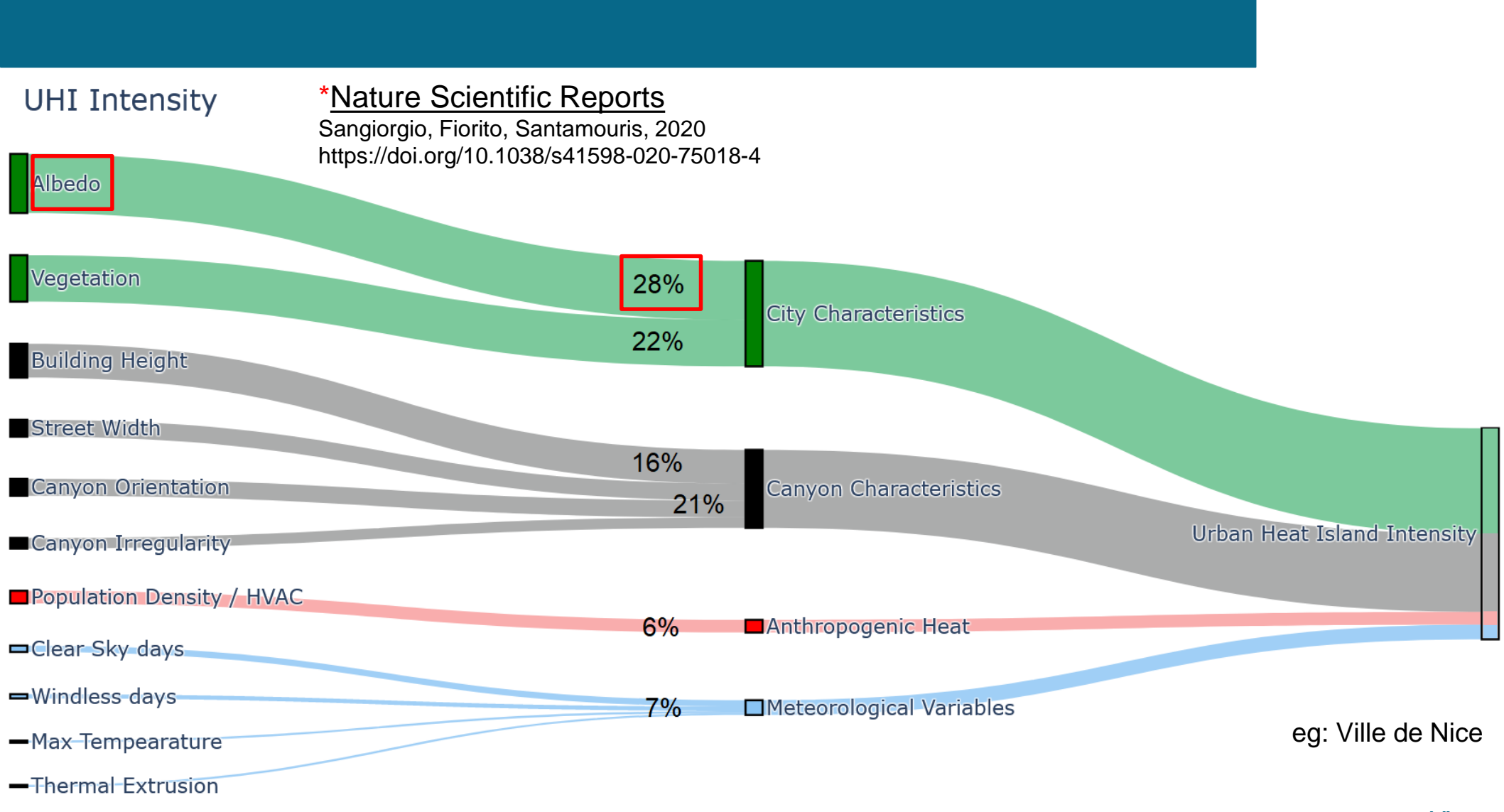


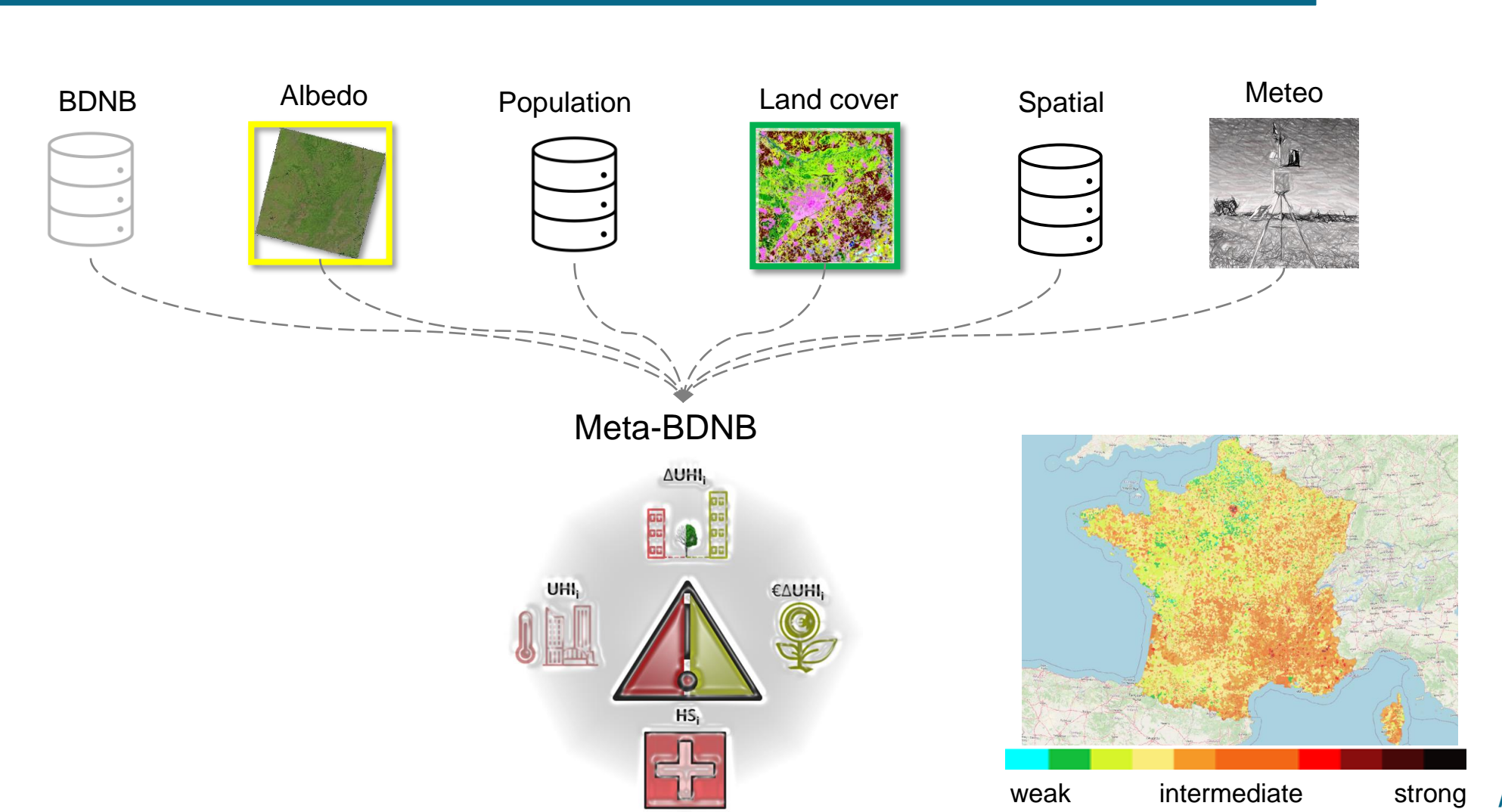


## Contexte

- L'étude s'inscrit dans le cadre de développements permettant d'estimer plus régulièrement et plus finement des <u>albédos urbains</u> pour <u>une meilleure estimation des indices de chaleurs urbains (ICU) instantanés</u> dans le cadre du projet IMPROVE (Interactive MaPping of uRban OverhEating) financé par l'ADEME. C'est la suite du projet SCO Sat4BDNB financé par le CNES.
- ➤ Le projet IMPROVE (2024-2026) vise à <u>contribuer au développement de la plateforme</u> <u>numérique « Plus Fraîche Ma Ville »</u>, en mettant à disposition une série de cartes comprenant l'Intensité maximale des ICUs.
- Le projet IMPROVE vise également à <u>développer des stratégies d'atténuation locales de la chaleur en ville</u> et des zooms à haute résolution spatiale sur l'estimation de l'albédo urbain.



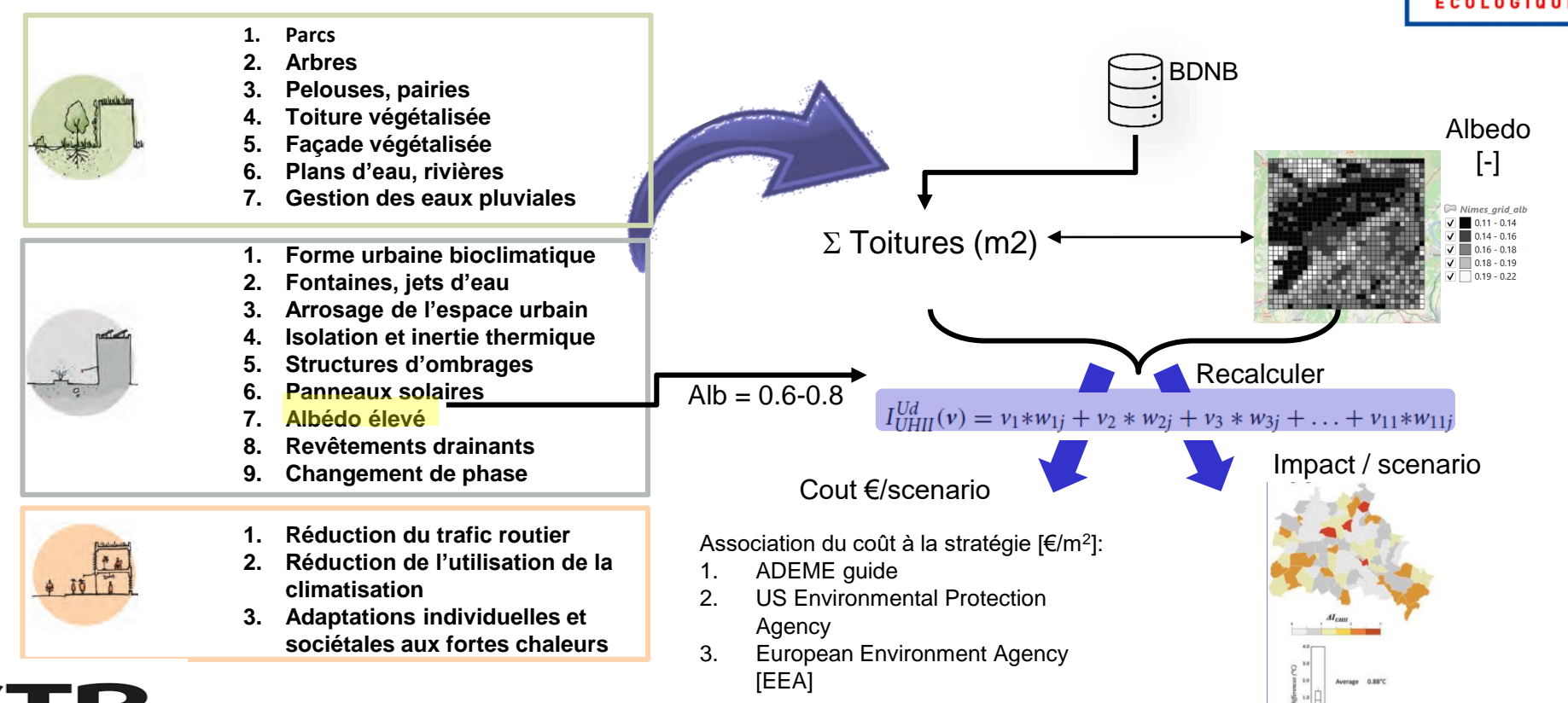




# Projets Sat4BDNB et IMPROVE: Estimation des ICUs pour l'amélioration de l'aménagement urbain

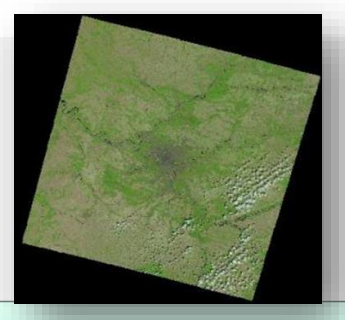
De meilleures estimations de l'albédo pour de meilleures estimations d'ICUs





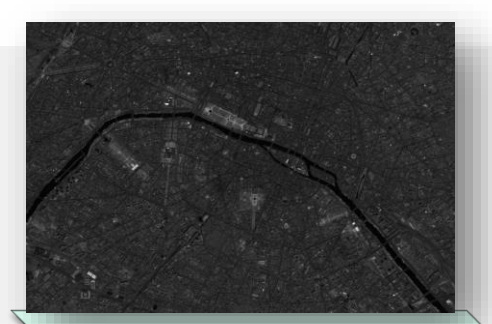
## Albedo Pipeline de traitement

Exemple de génération de carte nationale d'albédo et d'inclusion dans le BDNB.



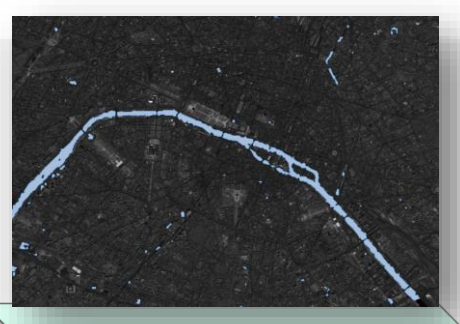
Récupération des images satellite Sentinel-2 pour toute la période estivale

- Résolution : 10m
- Période estivale pour éviter les effets saisonniers



Reprojection et application d'algorithme narrow-to-broadband.

Lambert-93 CRS



Intersection des pixels d'eau avec les données de couverture terrestre et élimination.

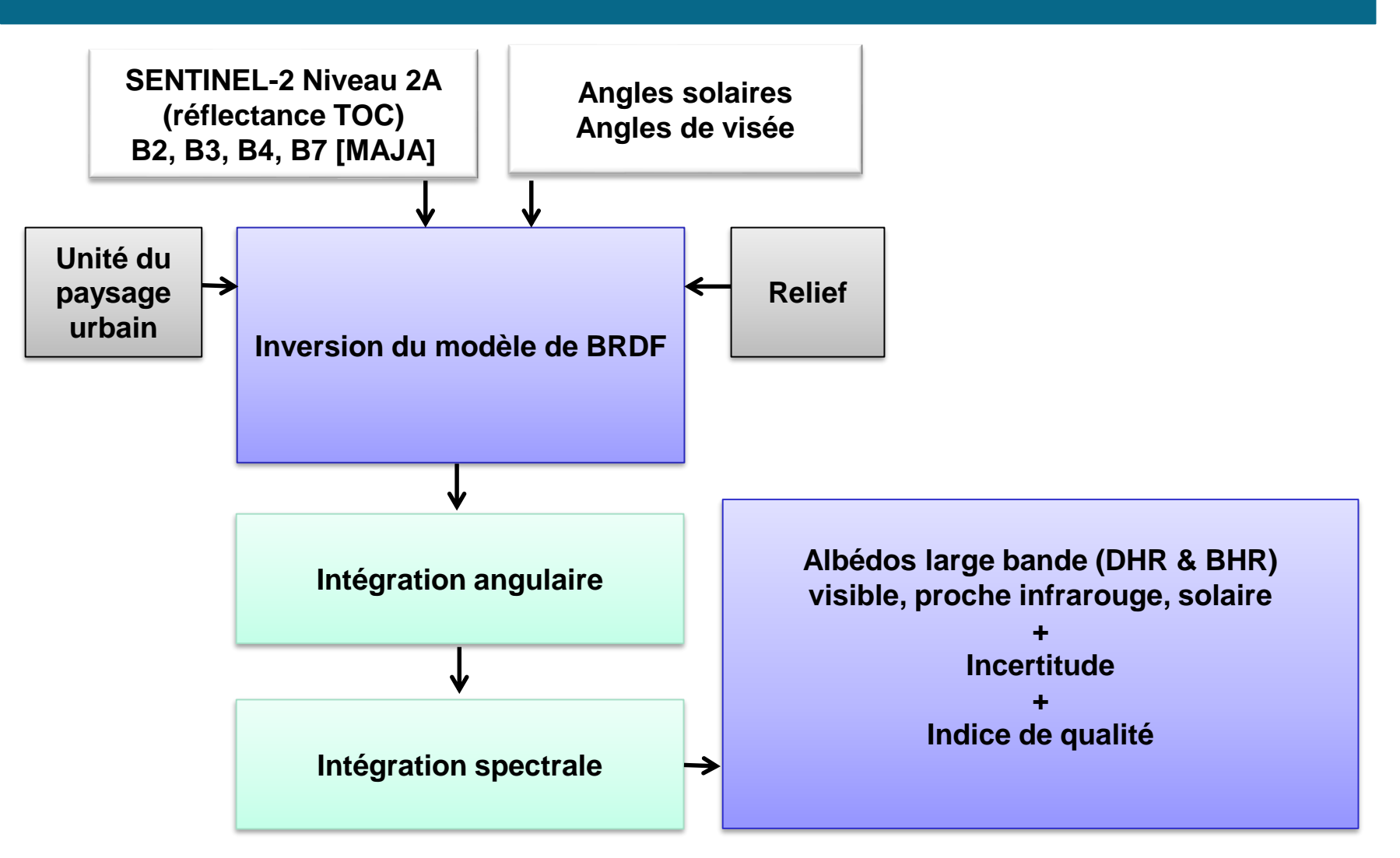
 Les pixels d'eau présentent des valeurs d'albédo très faibles



Indexation spatiale et calcul.

 Indexation spatiale : les requêtes SQL deviennent très efficaces !

#### **Flowchart**



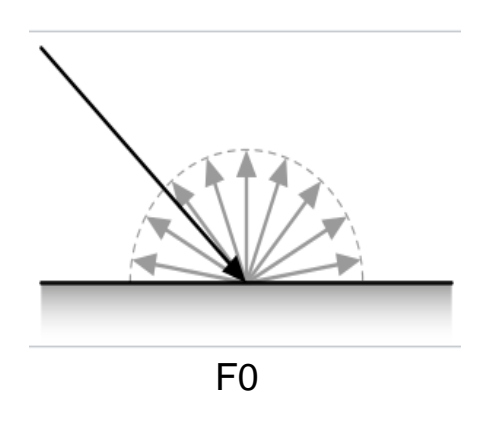
## Les quantités physiques estimées à partir des L2 de S2 (Réfectances issues de MAJA)

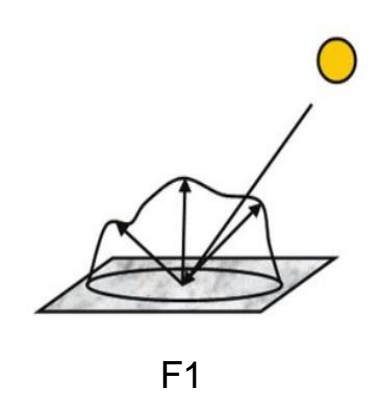
#### **Estimation de la BRDF**

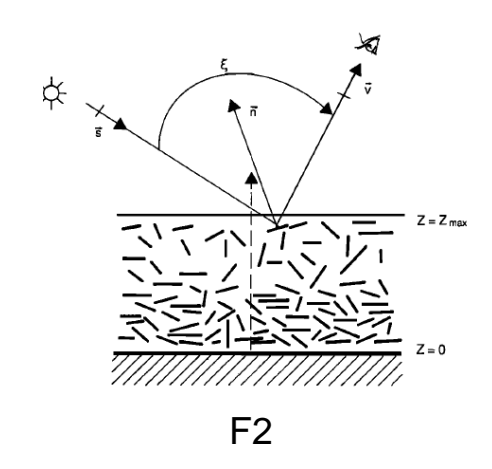


BRDF 
$$(\lambda, \theta_s, \theta_v, \Delta \varphi)$$
  $(sr^{-1}) = \sum_k F_k(\lambda) * K(\theta_s, \theta_v, \Delta \varphi)$ 

- F0 modélise la contribution isotrope de la BRDF
- > F1 modélise la contribution géométrique de la BRDF
- > F2 modélise la contribution volumique de la BRDF engendrée par la diffusion multiple







## Les quantités physiques estimées à partir des L2 de S2 (MAJA)

## Intégration angulaire

- ➤ La réflectance directionnelle hémisphérique (DHR en anglais) est à la réflectance engendrée par une illumination directe (i.e. pas de diffusion dans l'atmosphère) intégrée dans toutes les directions de vues
- ➤ La réflectance bi-hémisphérique (BHR en anglais) correspond à la réflectance engendrée par une illumination indirecte et constante dans toute les directions (i.e. diffusion complète) intégrée dans toutes les directions de vues
- L'albédo spectral, mesurée e.g. in-situ, est la somme pondérée par la fraction de lumière diffuse de DHR et BHR

$$a(\lambda) = [1 - f_{diff}(\lambda)]DHR(\lambda, \theta_s, \varphi_s) + f_{diff}(\lambda) * BHR(\lambda)$$

## Les quantités physiques estimées à partir des L2 de S2 (MAJA)

- > Intégration spectrale à partir de la réponse spectrale de S2
- Les albédos bande large sont estimés à partir du satellite:

$$DHR_{bb}(\lambda_1; \lambda_2, \theta_s, \varphi_s) = \frac{\int_{\lambda_1}^{\lambda_2} DHR(\lambda, \theta_s, \varphi_s) E(\lambda) d\lambda}{\int_{\lambda_1}^{\lambda_2} E(\lambda) d\lambda}$$

$$BHR_{bb}(\lambda_1:\lambda_2) = \frac{\int_{\lambda_1}^{\lambda_2} BHR(\lambda)E(\lambda)d\lambda}{\int_{\lambda_1}^{\lambda_2} E(\lambda)d\lambda}$$

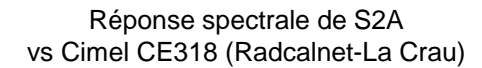
 $a_{bb}(\lambda_1:\lambda_2) = \frac{Eu(\lambda_1:\lambda_2)}{Ed(\lambda_1:\lambda_2)} = \left[1 - f_{diff}(\lambda)\right]DHR_{bb}(\lambda_1:\lambda_2,\theta_s,\varphi_s) + f_{diff}(\lambda) * BHR_{bb}(\lambda_1:\lambda_2)$ 

Sont comparés aux mesures in-situ des albédomètres des projets Albedo-Praires et Albatre :









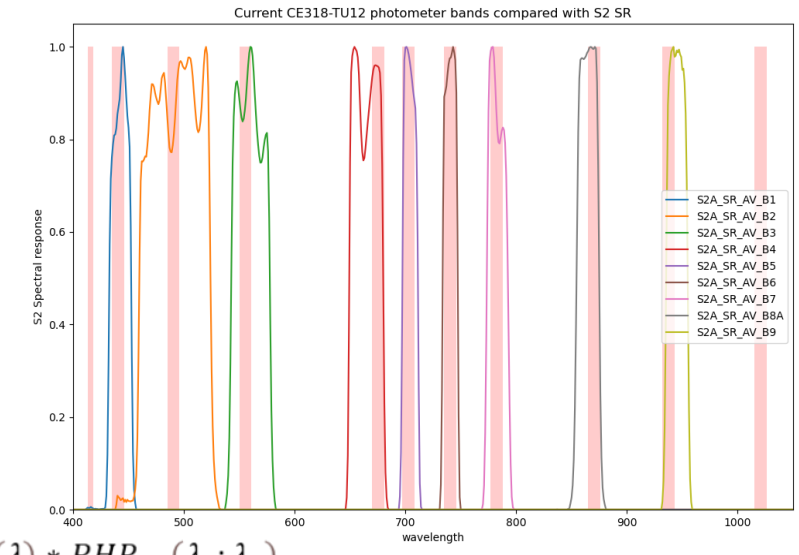




Figure 1: Map of the studied grasslands

## LE MODÈLE DU FILTRAGE DE KALMAN

L'estimation du gain du filtre de Kalman s'effectue à partir de l'apriori (i.e. l'état précédent) et des nouvelles observations:

$$G_n = C_n^a H^T (H C_n^a H_T + R)^{-1}$$

Cn est la matrice de covariance des paramètres à estimer

H est la matrice des paramètres du modèle de BRDF

R est la matrice de covariance du modèle de BRDF i.e. les incertitudes du modèle de BRDF

Avec une observation unique, i.e. un nouveau pixel clair observé par S2A ou B (voir C), les estimations et la matrice de covariance du modèle de BRDF sont mises à jour:

$$X_n = X_n^a + G_n (Z_n - H.X_n^a)$$

$$C_n = (1 - G_n \cdot H_n) \cdot C_n^a$$

➤ Il est possible de filtrer des nouvelles observations aberrantes (e.g. bords de nuages mal détectés):

$$|Z - H.X_n^a|^2 \le 4 * diag(R + H.C_n^a.H^T)$$

> Si la nouvelle observation ne respecte pas la condition ci-dessus, on garde l'a priori en augmentant l'incertitude sur les paramètres en fonction de la date de la nouvelle observation

## Contexte

- L'utilisation traditionnelle des fenêtres glissantes temporelles utilisées jusqu'à présent pour l'estimation de la BRDF est imitée par une fréquence élevée de couverture nuageuse, ce qui entraîne des inconsistances et des discontinuités dans les séries temporelles d'albédo.
- ✓ L'utilisation du filtrage de Kalman permet une meilleure estimation et une meilleure continuité temporelle des albédos estimés.

## Moyenne glissante:

- nécessite un nombre d'observations supérieur ou égal au nombre de paramètres estimés
- peut entrainer des inconsistances entre 2 estimations: pas de garantie de continuité
- la régularisation et l'apriori n'enlève pas les points précédents

## Filtrage de Kalman:

- Nécessite une bonne connaissance de l'apriori en valeur et matrice de covariance. Cet a priori peut être estimé à partir de données historiques
- Ne nécessite qu'une seule observation pour mettre à jour les estimations et l'apriori
- Permet des séries temporelles plus complètes et continues

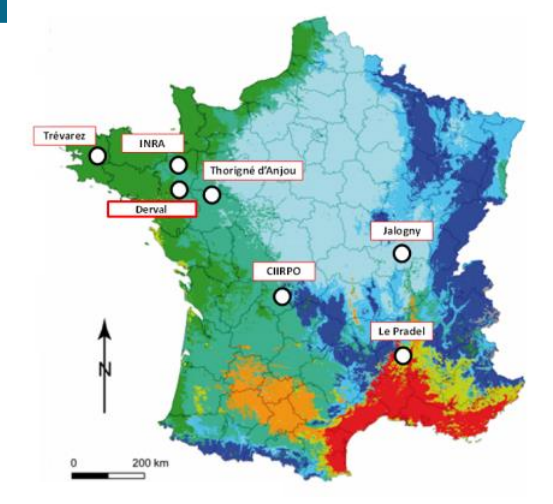
## VALIDATION DES DONNÉES D'ALBÉDO: RÉGRESSION CLASSIQUE 2022-24

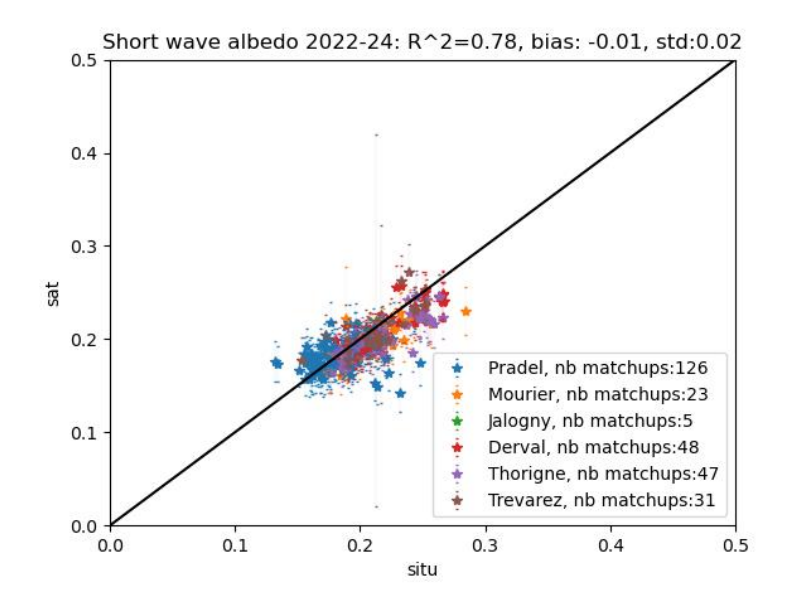
Stations in-situ: Pradel, Mourier, Jalony, Trevarez, Thorigne, Derval (sites prairies)

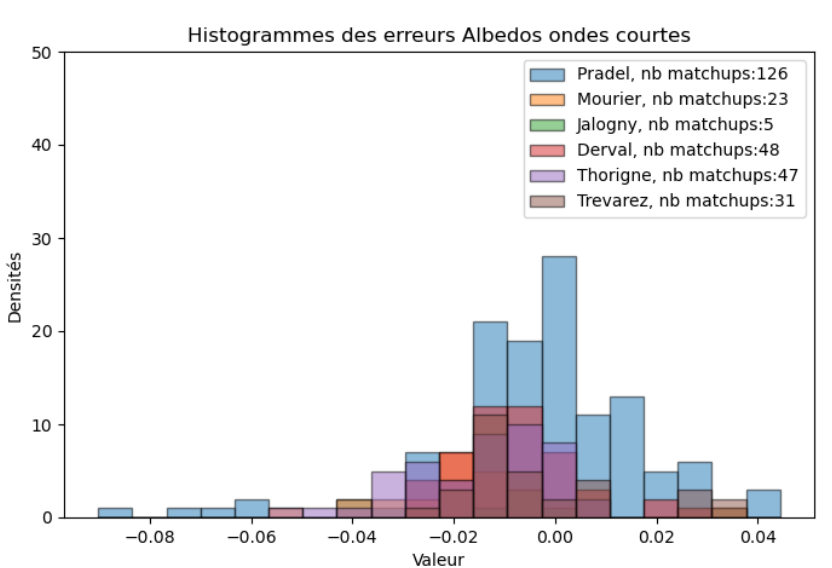
## Régression classique [-4 images : image] pour avoir au mois 3 observations

#### Protocole de validation (matchups):

- Fenêtre glissante [-4 images : image]
- Pixel central
- Δt sat-situ < 30 minutes</p>
  - Pas de filtrage







### VALIDATION DES DONNÉES D'ALBÉDO: FILTRAGE DE KALMAN 2022-24

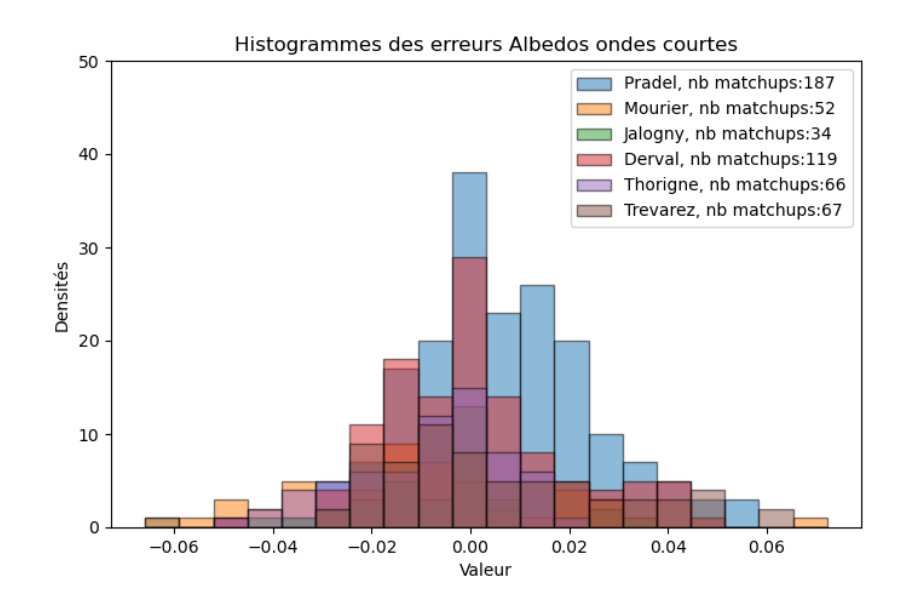
Stations in-situ: Pradel, Mourier, Jalony, Trevarez, Thorigne, Derval

- Filtrage de Kalman [une seule image]
- Apriori calculé sur les 10 premières images

#### Short wave albedo 2022-24: R^2=0.77, bias: -0.00, std:0.02 Pradel, nb matchups:187 Mourier, nb matchups:52 Jalogny, nb matchups:34 0.4 Derval, nb matchups:119 Thorigne, nb matchups:66 Trevarez, nb matchups:67 0.3 sat 0.2 0.1 0.0 0.1 0.2 0.3 0.4 0.0 situ

#### Protocol de validation (matchups):

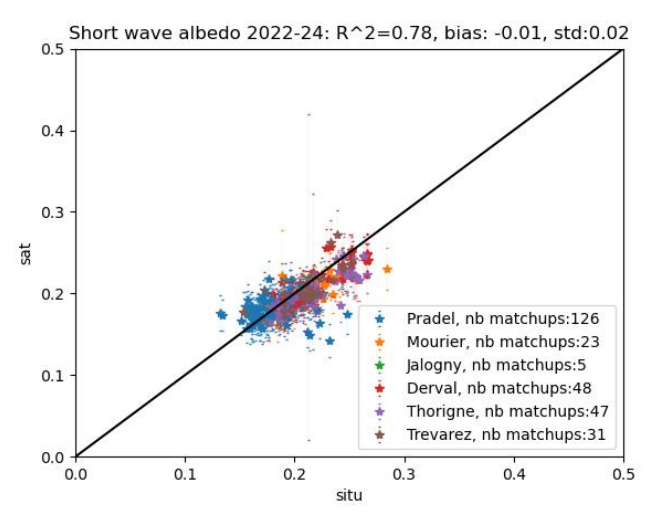
- Fenêtre glissante [image]
- Pixel central
- Δt sat-situ < 30 minutes</p>
- Pas de filtrage

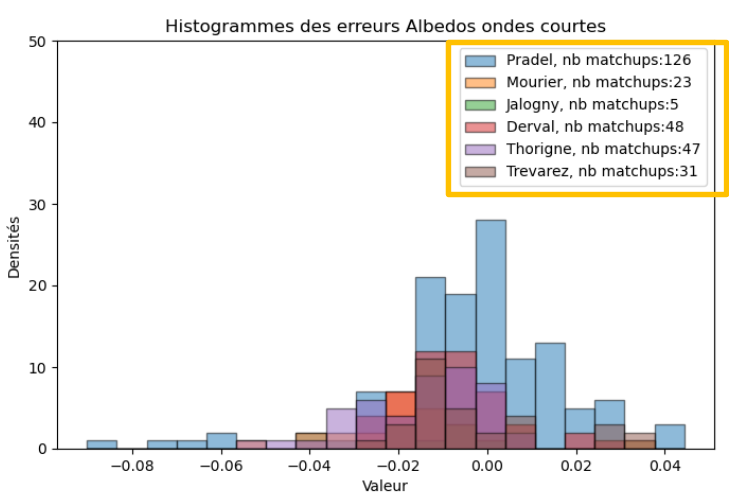


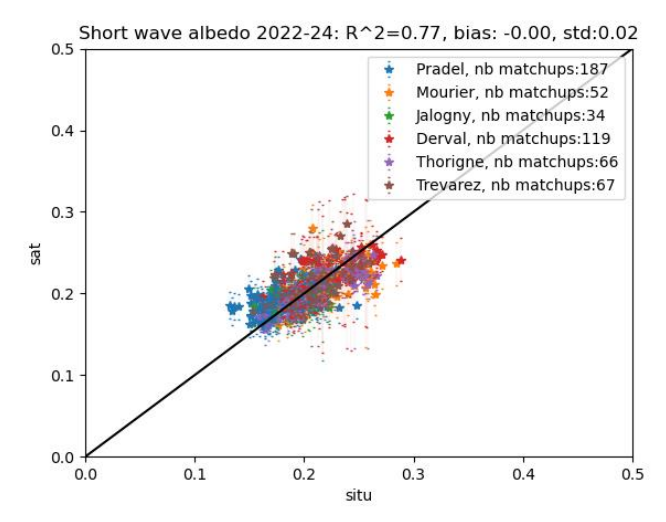
## **Regression Vs Kalman 2022-24**

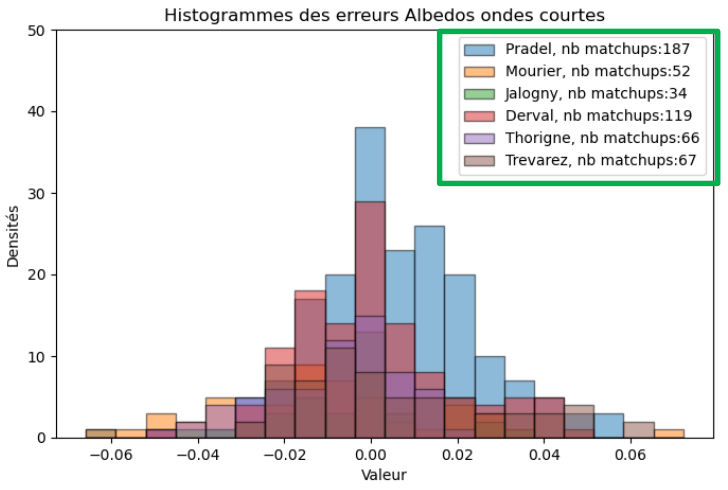
- Filtrage de Kalman [une seule image]
- Apriori calculé sur les 10 premières images

#### Régression classique [-4 images : image]

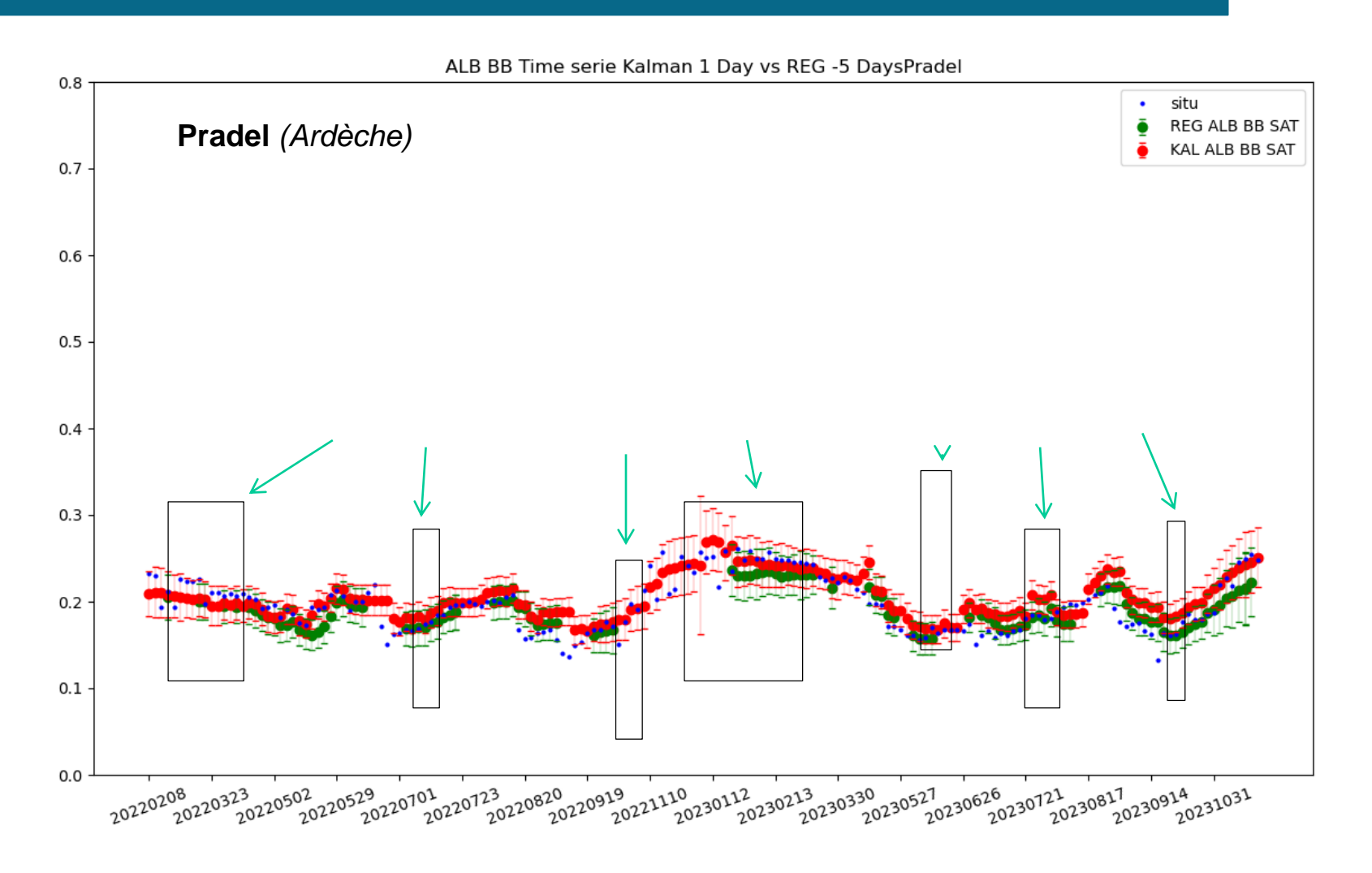






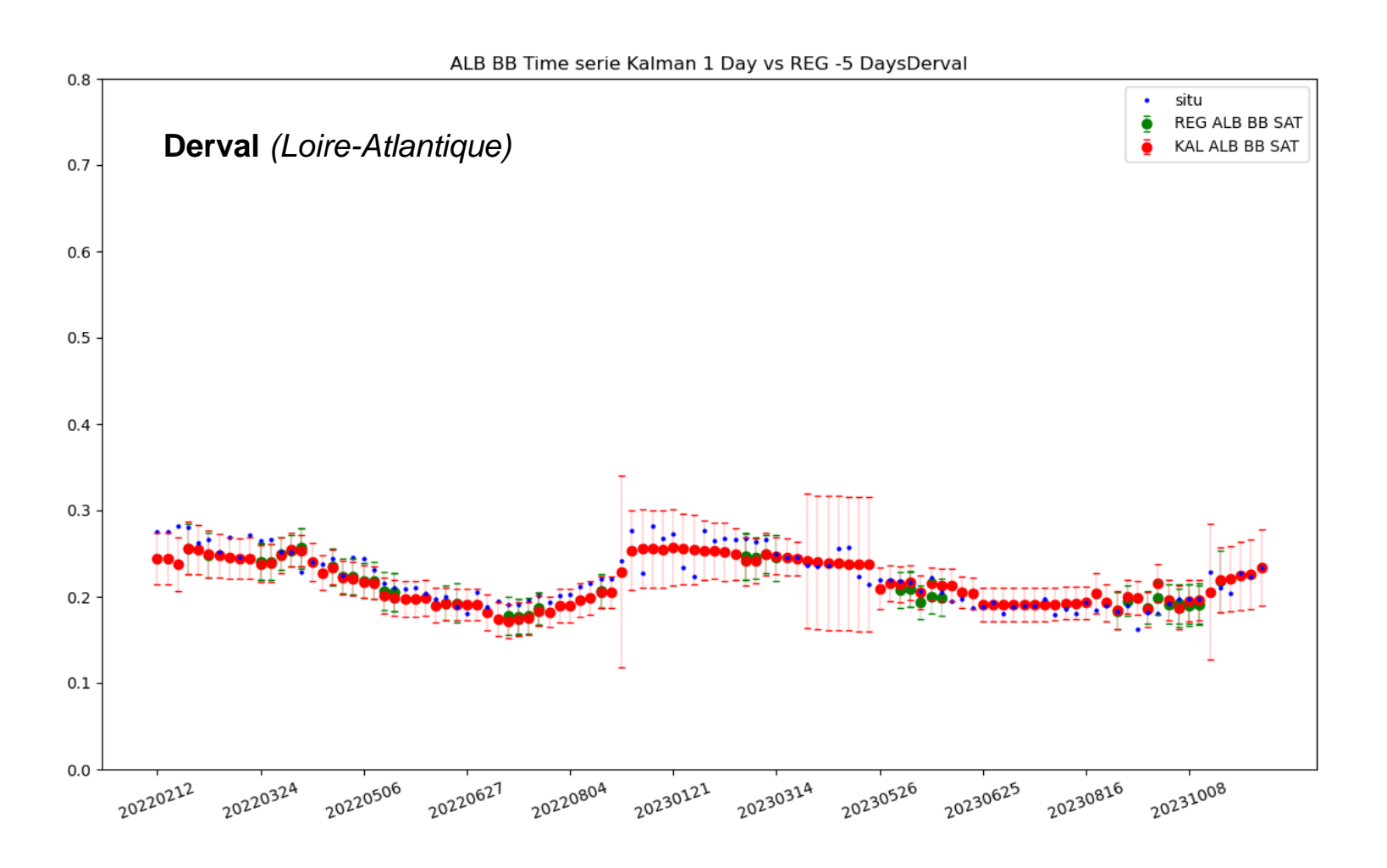


# Validation des données Regression Vs Kalman

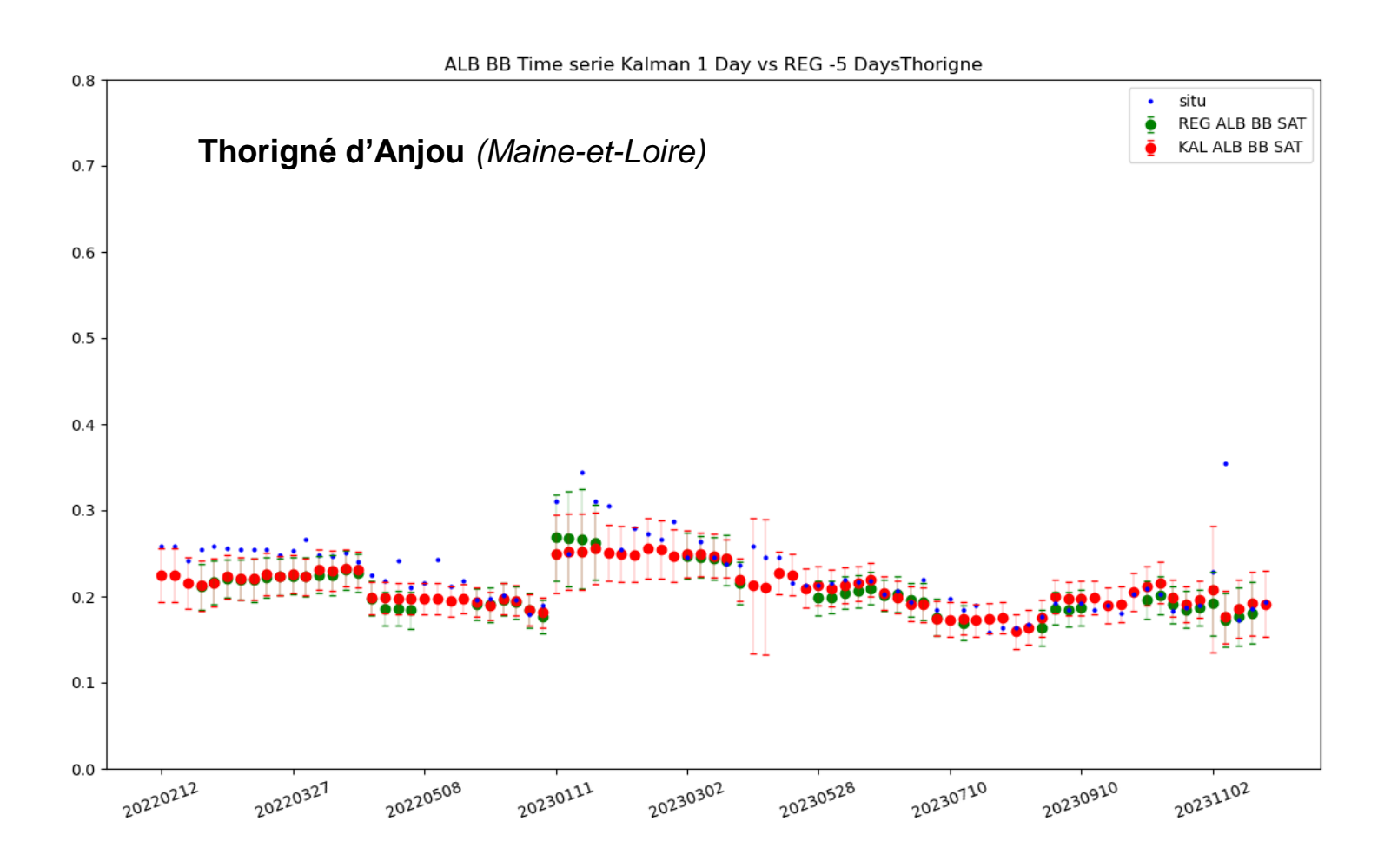


- -

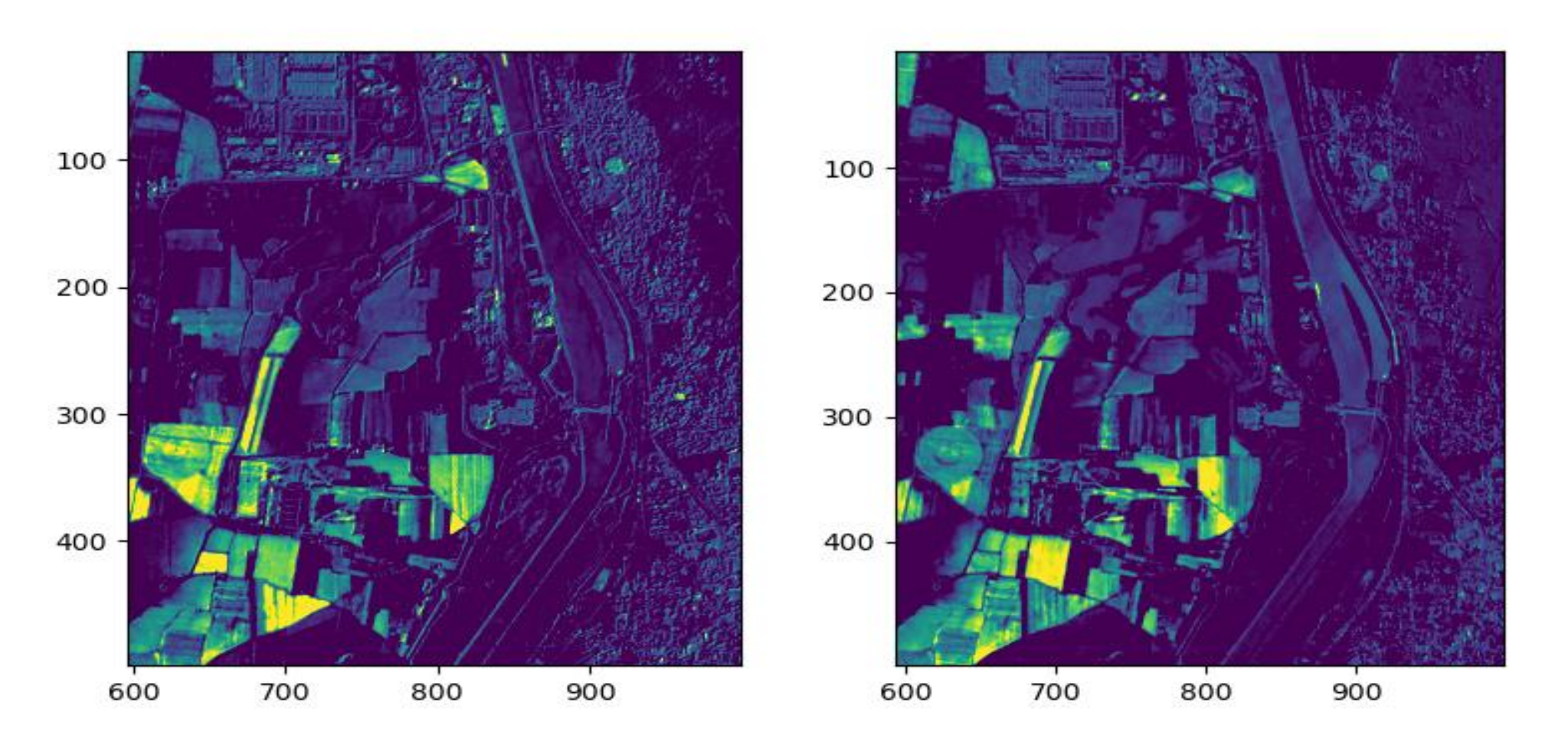
## Validation des données Regression Vs Kalman



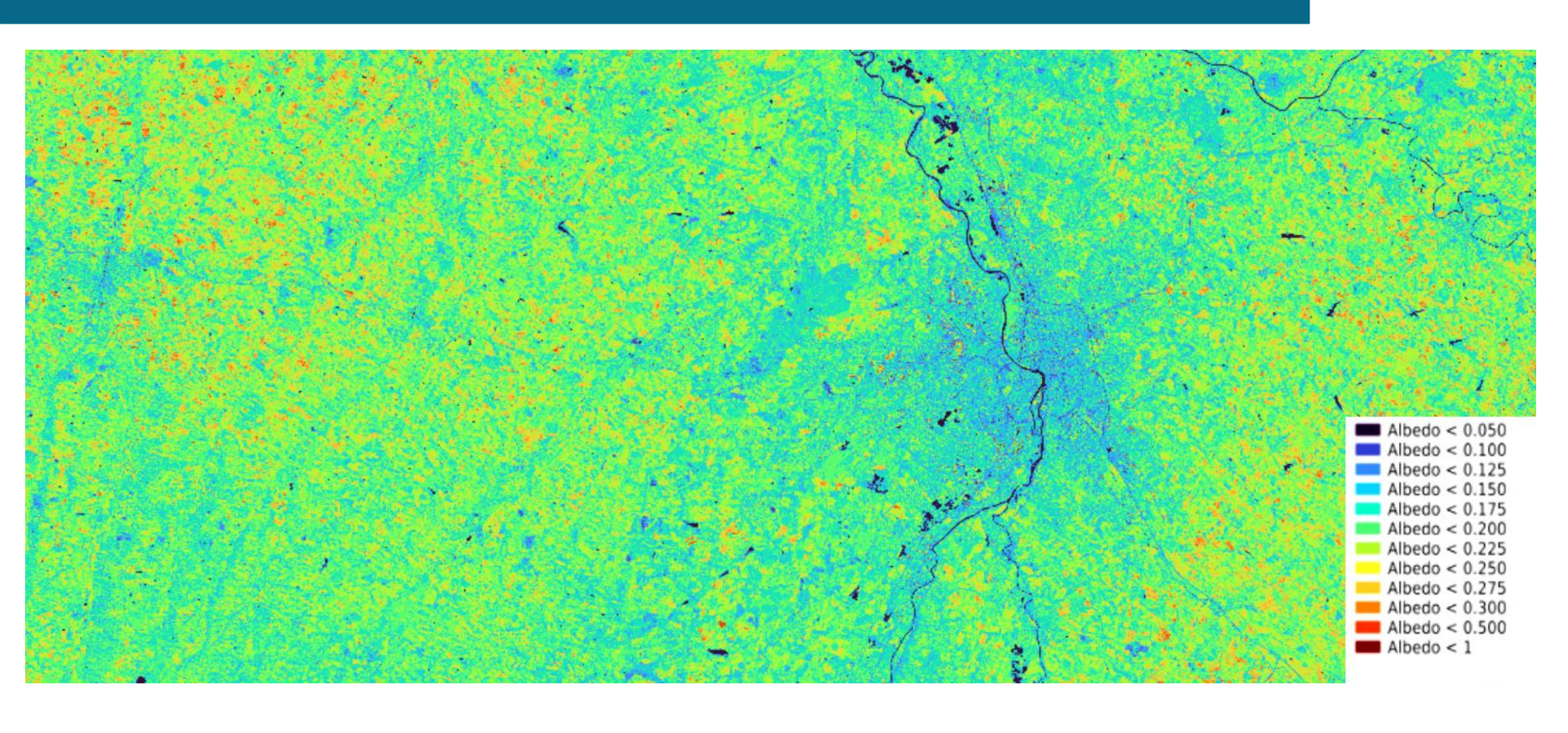
# Validation des données Regression Vs Kalman



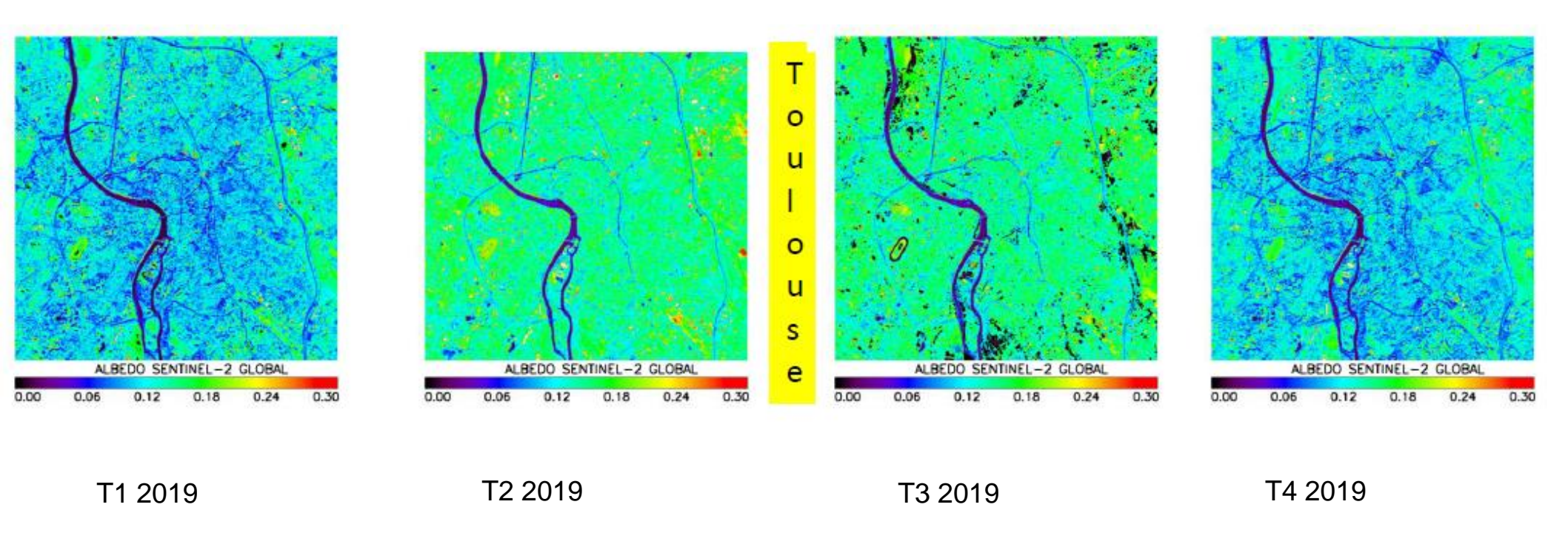
# Inversion du modèle de BRDF avec rayonnement diffus (qauche) et sans (droite)



# Albédo pour Toulouse



# Evolution saisonnière de l'albédo pour Toulouse



## **Conclusions**

L'approche par filtrage de Kalman permet d'offrir une meilleure continuité des champs estimés de BRDF et d'albédos pour les utilisateurs



- > La qualité des estimations n'est pas (ou peu) dégradée
- ➤ Le nombre d'estimations peut être multiplié par 2 ou 3 selon les configurations
- Les meilleures estimations des albédos seront mises à disposition du projet **IMPROVE** pour les années 2024 & 2025. Ce projet vise à estimer des ICUs à haute résolution pour l'aide à l'aménagement urbain local des villes en France

Remerciements: CNES (projet SCO Sat4BDNB), ADEME (projet IMPROVE)







## https://www.theia-land.fr/product/albedo-de-surface-sentinel-2/

# Merci pour votre attention !



